

НАУКОВИЙ ВІСНИК

Національного
гірничого університету

Рецензований
журнал

2 2020
176

Геологія

Розробка родовищ корисних копалин

Фізика твердого тіла, збагачення корисних копалин

Геотехнічна і гірнича механіка, машинобудування

Електротехнічні комплекси та системи

Технології енергозабезпечення

Екологічна безпека, охорона праці

Інформаційні технології, системний аналіз та керування

Економіка та управління

Головний редактор

Г. Г. Півняк

*Заступники головного
редактора*

О. С. Бешта, О. М. Шашенко

Відповідальний редактор

Т. В. Барна

РЕДАКЦІЙНА КОЛЕГІЯ:
(Україна)

К. А. Безручко, В. І. Бондаренко, А. Ф. Булат, О. Г. Вагонова, В. В. Гнатущенко, В. І. Голінько, М. М. Довбніч, Р. О. Дичковський, А. О. Задоя, В. В. Лукінов, В. Г. Маргасова, І. П. Отенко, А. В. Павличенко, С. М. Пересада, П. І. Пілов, Ю. І. Пилипенко, Г. М. Пилипенко, В. Ф. Приходченко, В. В. Проців, М. В. Рузіна, В. С. Савчук, В. І. Самуся, О. О. Сдвижкова, В. В. Соболев, І. О. Таран, І. М. Удовік, О. В. Фомін, Т. Г. Шендрік

**ЗАКОРДОННІ ЧЛЕНИ
РЕДАКЦІЙНОЇ КОЛЕГІЇ:**

Абдеразак Ель Альбані (*Університет Пуатьє, Франція*); А. Бенселгуб (*Університет Баджі Мохтар, Алжир*); Ю. Білан (*Університет Щецина, Республіка Польща*); Г. Грулер (*Хайліброннський університет, ФРН*); К. Дребенштедт (*Технічний університет «Фрайберзька гірнича академія», ФРН*); Ю. Дубінські (*Головний інститут гірничої справи, Республіка Польща*); Лю Баочан (*Коледж будівельної інженерії, Університет Цзілінь, Китай*); Т. Майхерчик (*Гірниочно-металургійна академія ім. Станіслава Сташиця, Республіка Польща*); В. Наумов (*Краківський політехнічний інститут ім. Тадеуша Костюшко, Республіка Польща*); Б. Ракішев (*Казахський національний технічний університет ім. К. І. Сатпаєва, Республіка Казахстан*); Х. Рамадан (*Технологічний Університет Бельфор-Монбел'яра, Франція*); Б. Ратов (*Казахський національний технічний університет ім. К. І. Сатпаєва, Республіка Казахстан*); С. Сімон (*Бранденбурзький технологічний університет Коттbus-Зенфтенберг, ФРН*); А. Смолінські (*Головний інститут гірництва, Республіка Польща*); Andīna Sprince (*Ризький технічний університет, Республіка Латвія*); О. Ставас (*Норвезький університет природничих наук та технології, Королівство Норвегія*); Д. Стругул (*Університет Аделаїди, Австралійський Союз*); А. Тайдусь (*Гірниочно-металургійна академія ім. Станіслава Сташиця, Республіка Польща*); В. Чарнецькі (*Есслінгенський університет прикладних наук, ФРН*); М. Шмідт (*Бранденбурзький технічний університет, ФРН*), Г. Шмідт (*Есслінгенський університет прикладних наук, ФРН*).

Журнал включено до міжнародних наукометрических баз Scopus, Index Copernicus Journal Master List та баз EBSCOhost i ProQuest, каталогів періодичних видань Ulrichsweb Global Serials Directory та ResearchBib, реферується в базі даних «Українська наукова», у журналах «Джерело» та ВІНІТІ РАН (РФ).

Передплата здійснюється в поштових відділеннях України за «Каталогом періодичних видань» (передплатний індекс: 89166) і в передплатних агентствах «Укрінформнаука» (індекс: 10107) та «Ідея» (індекс: 17736).

Комп'ютерна верстка Т. О. Клименко. Коректор М. Т. Сисун. Журнал підписано до друку за рекомендацією вченої ради Національного технічного університету «Дніпровська політехніка» (протокол № 3 від 17.02.2020 року)

Журнал зареєстровано

у Міністерстві юстиції України. Реєстраційний номер КВ № 24305-14145ПР від 27.12.2019. Наклад 200 прим. Зам. № 1. Підписано до друку 27.04.2020. Формат 60 × 90/8. Ум. друк. арк. 20. Папір офсетний.

Засновник та видавець

Національний технічний університет «Дніпровська політехніка», м. Дніпро. «Свідоцтво суб'єкта видавничої справи» ДК №1842 від 11.06.2004

Адреса видавця та редакції: 49005, м. Дніпро, просп. Д. Яворницького, 19, корпус 3, к. 24а
Тел.: (056) 746 32 79, e-mail: nv.ngu@ukr.net; www.nvngu.in.ua; nv.nmu.org.ua

Виготовлення:

ПП КФ «Герда». 49000, м. Дніпро, просп. Д. Яворницького, 60.
«Свідоцтво суб'єкта видавничої справи» ДК №397 від 03.04.2001



NAUKOVYI VISNYK

Natsionalnoho
Hirnychoho Universytetu

Peer-reviewed
journal

2 2020
176

Geology
Mining
Solid State Physics, Mineral Processing
Geotechnical and Mining Mechanical Engineering,
Machine Building
Electrical Complexes and Systems
Power Supply Technologies
Environmental Safety, Labour Protection
Information Technologies,
Systems Analysis and Administration
Economy and Management

<i>Editor-in-chief</i>	G. G. Pivnyak
<i>Deputy editors-in-chief</i>	O. S. Beshta, O. M. Shashenko
<i>Executive editor</i>	T. V. Barna
EDITORIAL BOARD: (Ukraine)	K. A. Bezruchko, V. I. Bondarenko, A. F. Bulat, M. M. Dovbnich, R. O. Dychkovskyi, O. V. Fomin, V. I. Golinko, V. V. Hnatushenko, V. V. Lukinov, V. G. Marhasova, I. P. Otenko, A. V. Pavlychenko, S. M. Peresada, P. I. Pilov, Yu. I. Pylypenko, G. M. Pylypenko, V. F. Prykhodchenko, V. V. Protsiv, M. V. Ruzina, V. S. Savchuk, V. I. Samusia, Ye. A. Sdvizhkova, V. V. Soboliev, I. O. Taran, I. M. Udovik, O. G. Vagonova, T. G. Shendrik, A. O. Zadoia.
FOREIGN MEMBERS OF EDITORIAL BOARD:	Abderrazzak El Albani (<i>Université de Poitiers, France</i>); A. Benselhoub (<i>Badjhi Mokhtar University, Algeria</i>); Yu. Bilan (<i>Szczecin University, Poland</i>), G. Gruhler (<i>Heilbronn University, Federal Republic of Germany</i>); C. Drebenstedt (<i>Freiberg University of Mining and Technology, Federal Republic of Germany</i>); J. Dubinski (<i>Central Mining Institute, Republic of Poland</i>); Liu Baochang (<i>College of Construction Engineering, Jilin University, China</i>); T. Majcherczyk (<i>AGH University of Science and Technology, Republic of Poland</i>); V. Naumov (<i>Cracow University of Technology, Republic of Poland</i>); B. Rakishev (<i>Kazakh National Technical University after K. I. Satpaev, Republic of Kazakhstan</i>); H. Ramadan (<i>The University of Technology of Belfort-Montbeliard, France</i>); B. Ratov (<i>Kazakh National Research Technical University, Republic of Kazakhstan</i>); S. Simon (<i>The Brandenburg University of Technology Cottbus-Senftenberg, Federal Republic of Germany</i>); A. Smolinski (<i>Central Mining Institute, Republic of Poland</i>); Andīna Sprince (<i>Riga Technical University, The Republic of Latvia</i>); A. Stovas (<i>The Norwegian University of Science and Technology, Kingdom of Norway</i>); J. Strugul (<i>The University of Adelaide, Commonwealth of Australia</i>); A. Tajduś (<i>AGH University of Science and Technology, Republic of Poland</i>); W. Czarnetzki (<i>The Esslingen University of Applied Sciences, Federal Republic of Germany</i>); M. Schmidt (<i>The Brandenburg Technical University, Federal Republic of Germany</i>), G. Schmidt (<i>The Esslingen University of Applied Sciences, Federal Republic of Germany</i>).
	The journal has been included in Scopus, Index Copernicus Journal Master List, Pro-Quest, EBSCOhost, Ulrichsweb Global Serials Directory, ResearchBib, Ukrainika naukova, Dzherelo, abstract journal VINITI RAS (Russia).
	Subscription for the journal can be done in post offices of the Ukraine (subscription index in Subscription Publication Catalogue is 89166) and in the subscription agencies Ukrinformnauka (index in Subscription Publication Catalogue is 10107) and Ideia (index is 17736)
	Makeup T. A. Klimenko. Proofreading M. T. Sysun. Passed for printing under recommendation of Academic Council of Dnipro University of Technology (transaction No. 3 dated February 17, 2020).
Certified	by Ministry of Justice of Ukraine. Registration number KB No. 24305-14145PR dated December 27, 2019. Passed for printing April 27, 2020. Sheet size 60 × 90/8. Presswork 20. Offset paper. Number of copies printed 200. Order No. 1.
Founder and publisher	Dnipro University of Technology, Dnipro Certificate of Publisher ДК No.1842 dated June 11, 2004
Address of publisher and editorial office:	19, D. Yavornyskoho Ave., building 3, room 24a, Dnipro, 49005 Tel.: (056) 746 32 79, e-mail: nv.ngu@ukr.net, www.nvngu.in.ua; nv.nmu.org.ua
Production	PP KF “Gerda”. 60, D. Yavornyskoho Ave., Dnipro, 49000. Certificate of Publisher ДК No.397 dated April 3, 2001

CONTENTS

Geology	5
E. D. Kuzmenko, I. V. Chepurnyi, T. B. Chepurna, S. M. Bagriy. Subsidence and failures within the territory of Precarpathian salt fields and the possibility of their prediction	5
Ya. O. Liashok, O. I. Serhiienko, V. M. Kutserubov, O. P. Kohtieva, L. V. Serhiienko. The influence of the moisture on the physical and mechanical properties of the sandstone (Separate Unit “Kapitalna” coal mine”, Donbas)	11
Mining	17
N. A. Nemova, D. Tahanov, B. Hussan, A. Zhumabekova. Technological solutions development for mining adjacent rock mass and pit reserves taking into account geomechanical assessment of the deposit	17
M. Fredj, A. Hafsaoui, H. Riheb, R. Boukarm, A. Saadoun. Back-analysis study on slope instability in an open pit mine (Algeria)	24
Solid State Physics, Mineral Processing	30
V. S. Morkun, N. V. Morkun, V. V. Tron, T. S. Sulyma. Synthesizing models of nonlinear dynamic objects in concentration on the basis of Volterra-Laguerre structures	30
L. I. Solonenko, O. P. Bilyi, S. I. Repiakh, T. V. Kimstach, K. I. Uzlov. Heating rate of granular inorganic materials by microwave radiation	37
I. V. Novitskyi, V. V. Sliesarev, A. V. Malienko. Method of identification of nonlinear dynamic control objects of preparatory processes before ore dressing	42
V. V. Sobolev, V. V. Kulivar, O. L. Kyrychenko, A. V. Kurliak, O. O. Balakin. Evaluation of blast wave parameters within the near-explosion zone in the process of rock breaking with borehole charges.....	47
Geotechnical and Mining Mechanical Engineering, Machine Building	53
V. V. Kalchenko, A. M. Yeroshenko, S. V. Boyko, P. L. Ignatenko. Development and research of thermoplastic methods for hardening details	53
Ya. B. Nemyrovskyi, V. V. Krivosheya, S. E. Sardak, I. V. Shepelenko, Yu. A. Tsekhanov. The use of deforming broaching for enhancing the efficiency of cutter chisels	61
K. Khelil, K. Saouchi, D. Behloul. Effect of the chirp on interactions of pure-chirped solitons	67
R. Rohatynskyi, N. Harmatiy, I. Fedyshyn, D. Dmytriv. Modeling the development of machine-building industry on the basis of the fuzzy sets theory	74
Electrical Complexes and Systems	82
O. A. Plakhtii, V. P. Nerubatskyi, D. A. Hordienko, H. A. Khoruzhevskyi. Calculation of static and dynamic losses in power IGBT-transistors by polynomial approximation of basic energy characteristics	82
Environmental Safety, Labour Protection	89
S. I. Cheberiachko, O. O. Yavorska, D. H. Klimov, A. V. Yavorskyi. Effect of filtering box parameters on the protective action of gas filters	89
N. M. Fialko, R. O. Navrodska, S. I. Shevchuk, G. O. Gnedenko. The environmental reliability of gas-fired boiler units by applying modern heat-recovery technologies	96
M. V. Omelchuk, Yu. S. Korotkova, E. A. Vorontsova. Modeling the process of formation of stagnation zones at hazardous production facility with application of CFD technologies	101
S. I. Zeghina, M. Bounouala, M. Chettibi, A. Benselhoub. Development of new composite cement based on waste rocks from Djebel Onk phosphate deposit (Tebessa-Algeria)	107
K. O. Dombrovskyi, O. F. Rylskyi, P. I. Gvozdik, O. V. Sherstoboiava, Yu. Yu. Petrusha. Distribution of inorganic nitrogen compounds in purification of storm wastewater of the engine-building manufactory	112
Information Technologies, Systems Analysis and Administration	119
M. I. Horbiichuk, O. T. Bila, Y. I. Zaiachuk, T. V. Humeniuk. Method for evaluating technical condition of aggregates based on artificial intelligence	119

Economy and Management	126
O. Horban, T. Kuprii, R. Martych, L. Panasiuk. Implications of total quality management in Ukrainian higher education institutions: international experience	126
V. M. Molokanova, O. P. Orliuk, V. O. Petrenko, O. B. Butnik-Syverskyi, V. L. Khomenko. Formation of metallurgical enterprise sustainable development portfolio using the method of analyzing hierarchies	131
I. Ishchenko, O. Vysotskyi, V. Perminov. Technology for determining the effectiveness of international cooperation in the mining industry	137
D. Nelipa, S. Rudenko, V. Teremko, S. Vnuchko. Improving the quality of civil service management in Ukraine	143
N. Mazaraki, A. Gerasymenko, V. Kovtun. Information asymmetry as a determinant of competition	148
H. Pylypenko, N. Fedorova, I. Huzenko, N. Naumenko. Paradoxes of economic development: science and innovation in the modern world	153
N. Kalyuzhna, A. Khodzhaian, P. Nebotov. The WTO toolkit in regulating interstate trade and economic cooperation	160
O. O. Knyzhenko, S. O. Knyzhenko, K. V. Yurtayeva. Illegal mining of mineral resources of the national importance: issues of subsoil protection with criminal-legal remedies	167
M. I. Zveryakov, O. Ye. Patlatoi. Innovation development of transition countries in the context of their participation in global value chains	172
N. Lokhman, V. Serebrenikov, T. Beridze, A. Cherep, I. Dashko. Analysis of economic and mathematical modeling of industrial enterprise functioning at multicollinearity based on parameterization	179

ЗМІСТ

Геологія	5
Е.Д. Кузьменко, І. В. Чепурний, Т. Б. Чепурна, С. М. Багрій. Просідання та провали на території соляних родовищ Передкарпаття та можливість їх прогнозування	5
Я.О. Ляшок, О. І. Сергієнко, В. М. Куцерубов, О. П. Когтєва, Л. В. Сергієнко. Вплив вологи на фізико-механічні властивості пісковику (ВП «Шахта «Капітальна», Донбас)	11
Розробка родовищ корисних копалин	17
Н.А. Немова, Д. Таханов, Б. Хусан, А. Жумабекова. Розробка технологічних рішень відпрацювання прибортових і підкар'єрних запасів з урахуванням геомеханічної оцінки родовища	17
М. Фредж, А. Афсая, Х. Ріеб, Р. Букарм, А. Саадун. Вивчення стабільності схилів у кар'єрі на основі ретроспективного аналізу (Алжир)	24
Фізика твердого тіла, збагачення корисних копалин	30
В. С. Моркун, Н. В. Моркун, В. В. Тронь, Т. С. Сулима. Синтез моделей нелінійних динамічних об'єктів збагачувального виробництва на основі структур Вольтерра-Лагерра	30
Л. І. Солоненко, О. П. Білій, С. І. Реп'ях, Т. В. Кімстач, К. І. Узлов. Швидкість нагріву зернистих неорганічних матеріалів надвисокочастотним випромінюванням	37
І. В. Новицький, В. В. Слєсарев, А. В. Малієнко. Метод ідентифікації нелінійних динамічних об'єктів керування підготовчими процесами перед збагаченням руд	42
В. В. Соболєв, В. В. Кулівар, О. Л. Кириченко, А. В. Курляк, О. О. Балакін. Оцінка ударно-хвильових параметрів у близькій зоні вибуху при руйнуванні гірських порід свердловинними зарядами	47
Геотехнічна і гірнича механіка, машинобудування	53
В. В. Кальченко, А. М. Єрошенко, С. В. Бойко, П. Л. Ігнатенко. Розробка й дослідження термопластичних методів зміцнення деталей	53
Я. Б. Немировський, В. В. Кривошея, С. Е. Сардак, І. В. Шепеленко, Ю. О. Щеханов. Застосування деформуючого протягування для підвищення працездатності шарошечних доліт	61
Х. Хеліл, К. Сауучі, Д. Бахлул. Вплив ЛЧМ-імпульсу на взаємодію солітонів із «чистою» лінійною частотною модуляцією	67
Р. М. Рогатинський, Н. М. Гарматій, І. Б. Федишин, Д. В. Дмитрів. Моделювання розвитку машинобудування на базі теорії нечітких множин	74
Електротехнічні комплекси та системи	82
О. А. Плахтій, В. П. Нерубашкий, Д. А. Гордієнко, Г. А. Хоружевський. Розрахунок статичних і динамічних втрат у силових IGBT-транзисторах шляхом поліноміальної апроксимації базових енергетичних характеристик	82
Екологічна безпека, охорона праці	89
С. І. Чеберячко, О. О. Яворська, Д. Г. Клімов, А. В. Яворський. Вплив параметрів фільтруючої коробки на захисну дію протигазових фільтрів	89
Н. М. Фіалко, Р. О. Навродська, С. І. Шевчук, Г. О. Гнєдаш. Екологічна надійність газоспоживальних котелень при застосуванні сучасних теплоутилізаційних технологій	96
М. В. Омельчук, Ю. С. Короткова, Е. А. Воронцова. Моделювання процесу формування зон застою на небезпечному виробничому об'єкті із застосуванням CFD-технологій	101
С. І. Зегіна, М. Бунуала, М. Четтібі, А. Бенселгуб. Розробка нового композиційного цементу на основі відходів порід фосфатного родовища Джебель Онк (Тебесса-Алжир)	107
К. О. Домбровський, О. Ф. Рильський, П. І. Гвоздяк, О. В. Шерстобоєва, Ю. Ю. Петруша. Розподіл неорганічних сполук нітрогену при очищенні стічних вод моторобудівного заводу	112
Інформаційні технології, системний аналіз та керування	119
М. І. Горбійчук, О. Т. Біла, Я. І. Заячук, Т. В. Гуменюк. Метод оцінки технічного стану агрегатів на засадах штучного інтелекту	119

Економіка та управління	126
О. В. Горбань, Т. Г. Купрій, Р. В. Мартич, Л. В. Панасюк. Імплікація загального управління якістю в українських вищих навчальних закладах: міжнародний досвід	126
В. М. Молоканова, О. П. Орлюк, В. О. Петренко, О. Б. Бутнік-Сіверський, В. Л. Хоменко. Формування портфелю сталого розвитку металургійного підприємства з використанням методу аналізу ієрархій	131
І. В. Іщенко, О. Ю. Висоцький, В. О. Пермінов. Технологія визначення ефективності міжнародного співробітництва України в гірничодобувній галузі	137
Д. В. Неліпа, С. В. Руденко, В. В. Теремко, С. М. Внучко. Підвищення якості управління державною службою України	143
Н. А. Мазаракі, А. Г. Герасименко, В. Ю. Ковтун. Інформаційна асиметрія як детермінанта конкурентної боротьби	148
Г. М. Пилипенко, Н. Є. Федорова, І. Ю. Гузенко, Н. Ю. Науменко. Парадокси соціально-економічного розвитку: наука та інновації в сучасному світі	153
Н. Г. Калюжна, А. О. Ходжаян, П. Г. Неботов. Інструментарій СОТ у регулюванні міждержавного торговельно-економічного співробітництва	160
О. О. Книженко, С. О. Книженко, К. В. Юртаєва. Незаконне видобування корисних копалин загальнодержавного значення: питання охорони надр кримінально-правовими засобами	167
М. І. Зверяков, О. Є. Патлатой. Інноваційний розвиток транзитивних країн у контексті участі у глобальних ланцюгах доданої вартості	172
Н. В. Лохман, В. М. Серебренников, Т. М. Берідзе, А. В. Череп, І. М. Дацько. Аналіз економіко-математичного моделювання функціонування промислового підприємства при мультиколлінеарності на основі параметризації	179

СОДЕРЖАНИЕ

Геология	5
Е.Д. Кузьменко, И. В. Чепурный, Т. Б. Чепурна, С. М. Багрий. Проседания и провалы на территории соляных месторождений Прикарпатья и возможность их прогнозирования	5
Я.А.Ляшок, А. И. Сергиенко, В. М. Кущерубов, О. П. Когтева, Л. В. Сергиенко. Влияние влаги на физико-механические свойства песчаника (ОП «Шахта «Капитальная», Донбасс)	11
Разработка месторождений полезных ископаемых	17
Н.А. Немова, Д. Таханов, Б. Хусан, А. Жумабекова. Разработка технологических решений отработки прибрежных и подкарьерных запасов с учетом геомеханической оценки месторождения	17
М. Фредж, А. Афсауи, Х. Риеб, Р. Букарм, А. Саадун. Изучение стабильности склонов в карьере на основе ретроспективного анализа (Алжир)	24
Физика твердого тела, обогащение полезных ископаемых	30
В. С. Моркун, Н. В. Моркун, В. В. Тронь, Т. С. Сулима. Синтез моделей нелинейных динамических объектов обогатительного производства на основе структур Вольтерра-Лагерра	30
Л. И. Солоненко, А. П. Белый, С. И. Репях, Т. В. Кимстач, К. И. Узлов. Скорость нагрева зернистых неорганических материалов сверхвысокочастотным излучением	37
И. В. Новицкий, В. В. Слесарев, А. В. Малиенко. Метод идентификации нелинейных динамических объектов управления подготовительными процессами перед обогащением руд	42
В. В. Соболев, В. В. Куливар, А. Л. Кириченко, А. В. Курляк, О. А. Балакин. Оценка ударно-волновых параметров в ближней зоне взрыва при разрушении горных пород скважинными зарядами	47
Геотехническая и горная механика, машиностроение	53
В. В. Кальченко, А. М. Ерошенко, С. В. Бойко, П. Л. Игнатенко. Разработка и исследование термопластичных методов упрочнения деталей	53
Я. Б. Немировский, В. В. Кривошея, С. Э. Сардак, И. В. Шепеленко, Ю. А. Цеханов. Применение деформирующего протягивания для повышения работоспособности шарошечных долот	61
Х. Хелил, К. Саоучи, Д. Бахлул. Влияние ЛЧМ-импульса на взаимодействие солитонов с «чистой» линейной частотной модуляцией	67
Р. М. Рогатинский, Н. М. Гарматий, И. Б. Федишин, Д. В. Дмытров. Моделирование развития машиностроения на базе теории нечетких множеств	74
Электротехнические комплексы и системы	82
А.А. Плахтий, В. П. Нерубацкий, Д. А. Гордиенко, Г. А. Хоружевский. Расчёт статических и динамических потерь в силовых IGBT-транзисторах путём полиномиальной аппроксимации базовых энергетических характеристик	82
Экологическая безопасность, охрана труда	89
С. И. Чеберячко, Е. А. Яворская, Д. Г. Климов, А. В. Яворский. Влияние параметров фильтрующей коробки на защитное действие противогазовых фильтров	89
Н. М. Фиалко, Р. А. Навродская, С. И. Шевчук, Г. А. Гнедаш. Экологическая надежность газопотребляющих котельных при применении современных теплоутилизационных технологий	96
М. В. Омельчук, Ю. С. Короткова, Е. А. Воронцова. Моделирование процесса формирования зон застоя на опасном производственном объекте с применением CFD-технологий	101
С. И. Зегина, М. Бунуала, М. Четтиби, А. Бенселгуб. Разработка нового композиционного цемента на основе отходов пород фосфатного месторождения Джебель Онк (Тебесса-Алжир)	107
К. О. Домбровский, А. Ф. Рыльский, П. И. Гвоздяк, Е. В. Шерстобоева, Ю. Ю. Петруша. Распределение неорганических соединений нитрогена при очистке сточных вод моторостроительного завода	112
Информационные технологии, системный анализ и управление	119
М. И. Горбийчук, О. Т. Била, Я. И. Заячук, Т. В. Гуменюк. Метод оценки технического состояния агрегатов на основе искусственного интеллекта	119

Экономика и управление	126
А. В. Горбань, Т. Г. Куприй, Р. В. Мартыч, Л. В. Панасюк. Импликация системного управления качеством в украинских высших учебных заведениях: международный опыт	126
В. М. Молоканова, Е. П. Орлюк, В. А. Петренко, А. Б. Бутник-Сиверский, В. Л. Хоменко. Формирование портфеля устойчивого развития металлургического предприятия с использованием метода анализа иерархий	131
И. В. Ищенко, А. Ю. Высоцкий, В. А. Перминов. Технология определения эффективности международного сотрудничества Украины в горнодобывающей отрасли	137
Д. В. Нелипа, С. В. Руденко, В. В. Теремко, С. Н. Внучко. Повышение качества управления государственной службой Украины	143
Н. А. Мазараки, А. Г. Герасименко, В. Ю. Ковтун. Информационная асимметрия как детерминанта конкурентной борьбы	148
А. Н. Пилипенко, Н. Е. Федорова, И. Ю. Гузенко, Н. Ю. Науменко. Парадоксы экономического развития: наука и инновации в современном мире	153
Н. Г. Калюжная, А. А. Ходжаян, П. Г. Неботов. Инструментарий ВТО в регулировании межгосударственного торгово-экономического сотрудничества	160
О. А. Книженко, С. А. Книженко, К. В. Юртаева. Незаконная добыча полезных ископаемых общегосударственного значения: вопросы охраны недр уголовно-правовыми средствами	167
М. И. Зверяков, А. Е. Патлатой. Инновационное развитие транзитивных стран в контексте участия в глобальных цепочках добавленной стоимости	172
Н. В. Лохман, В. М. Серебренников, Т. М. Беридзе, А. В. Череп, И. Н. Дацко. Анализ экономико-математического моделирования деятельности промышленного предприятия при мультиколлинеарности на основе параметризации	179

L. I. Solonenko¹, Cand. Sc. (Tech.),
 orcid.org/0000-0003-2092-8044,
O. P. Bilyi²,
 orcid.org/0000-0003-1234-5404,
S. I. Repiakh², Dr. Sc. (Tech.),
 orcid.org/0000-0003-0203-4135,
T. V. Kimstach²,
 orcid.org/0000-0002-8993-201X,
K. I. Uzlov², Dr. Sc. (Tech.), Prof.,
 orcid.org/0000-0003-0744-9890

1 – Odessa National Polytechnic University, Odessa, Ukraine
 2 – National Metallurgical Academy of Ukraine, Dnipro, Ukraine, e-mail: 123rs@ua.fm

HEATING RATE OF GRANULAR INORGANIC MATERIALS BY MICROWAVE RADIATION

Purpose. Determining heating rate of granular materials of inorganic origin used for manufacturing foundry molds and rods in the field of ultra-high frequency radiation, dependence of the heating rate of materials on the magnitude of their relative dielectric permeability, as well as establishing the influence of the chemical composition and structure of inorganic materials on their relative dielectric permeability.

Methodology. Investigation was carried out on test material samples weighing 200 grams which were heated by microwave radiation with frequency of 2.45 GHz at nominal magnetron power of 700 W. Among the tested materials are: silicate block (soda), rutile, normal electro-corundum, zircon concentrate, distene-sillimanite concentrate, chamotte, quartz sand, sodium chloride, β -gypsum (G4, closed), α -gypsum (G22, closed).

Findings. According to the results of changing the initial temperature of samples, the heating rate of granular materials of inorganic origin and values of their relative dielectric permeability (ϵ) were calculated. It has been found that investigated the heating rate of industrial-grade materials is in the range from 12 (for closed gypsum grade G22) to 122 °C/min (for silicate block).

Originality. Values of dielectric permeability indicators of solid granular materials-insulators of industrial purity with a value of $\epsilon \leq 17$ have been established for the first time. It has been determined that their heating rate is directly proportional to ϵ value. Moreover, these materials' dielectric permeability depends solely on their chemical composition and can be calculated according to the additivity rule of elementary chemical components included in their composition

Practical value. Based on the obtained data, materials appropriated for manufacturing casting model-core equipment, as well as casting molding and core mixtures working, dried and structured in the field of microwave radiation have been recommended. Using such materials will reduce energy consumption of casting parts production and increase its environmental safety.

Keywords: *dielectric permeability, ultrahigh frequency radiation, granular material, heating rate, foundry mold, core*

Introduction. Determination of electrical properties of dielectrics is one of the tasks of modern fundamental science, which is of great theoretical and practical importance. Electrical properties, including relative dielectric permeability (ϵ), are determined by a variety of methods (resonance methods, loop detuning, coaxial, balanced, waveguide, short circuit, and others). Wide variety of these methods is conditioned by both accuracy and conditions of measurements performance, as well as formulation of the tasks to be solved, size specific, shape and structure of examined objects, and others.

With regard to disposable non-metallic foundry molds and cores production, as well as model-core equipment, one of the most important indicators of technologies, in which microwave radiation has been used for heating, is their granular material heating rate. Currently, in relation to natural origin domestic granular materials of technical purity, such data are absent or have fragmented character. Hence, work aimed at determining the heating rate, as well as at establishing the relationship between the heating rate of granular materials of natural and artificial origin of technical purity and their electrical parameters, is relevant.

Literature review. At the present time, ultrahigh frequency (UHF) radiation is used in a wide variety of technologies. In particular, it is applied for disinfection of wastewater, vulcanization of rubber, production of thermally expanding graphite, products from plastics and resins, extraction of ore materials, as well as in medicine, food and woodworking industry [1], in forest [2] and chemical industry [3], in agriculture [4], building [5], foundry [6] and other industrial branches.

In foundry manufacturing UHF radiation is used to a limited extent, mainly for molding and core materials, molds and cores drying, model composition smelting from ceramic shell molds. The limited use of UHF radiation in foundry technology is conditioned by its application peculiarities. Particularly, the types of tooling most used in foundries include models, model plates, flasks and core boxes. As a rule, wood, cast iron, steel, aluminum alloys, plastics, fiberglass, epoxides resins are used for their manufacturing [7, 8]. Materials suitable for conventional molding methods are not always suitable for use in UHF radiation heating applications. In particular, plastic masses and resins emit toxic substances and cancerogens when heated [9], metal accessories, fasteners and parts heat up quickly and, reflecting electromagnetic waves, lead to electric arc sparking appearance in UHF furnace working chamber [10], wooden equipment – charring and deforming. In this regard, among the materials for model-and-flask equipment, taking into account its heating in a UHF furnace, for example, the corresponding dielectric material slowly heating up in UHF radiation can be used.

The issues of dielectric materials heating were dealt with by many scientists and researchers [11, 12]. Nevertheless, methodology for determining the heating rate, adopted in some of such studies, involving the water tank installation in addition to the test material in UHF furnace working space [12], casts doubt on the adequacy of the obtained results. In addition, the heating rate of bulk granular materials of industrial purity, most often used for the production of foundry molds and cores, has not been determined.

Purpose of the study is to determine the heating rate of granular materials, used in foundry molds and cores manufacturing processes in UHF field, its dependence on relative di-

electric permeability, to establish the degree of influence of chemical composition and structure of inorganic materials on relative dielectric permeability.

Methods and materials. To determine the rate of increase in materials' temperature during their heating by a UHF radiation device, schematically shown in Fig. 1.

According to the scheme in Fig. 1, the device is a container made of foam with an apparent density of 22 kg/m^3 . Dimensions of the working cavity of a foam container are $\varnothing 40 \times 70 \text{ mm}$. In upper part of the container, its working cavity is closed with a foam cover.

To control the UHF furnace operability, before starting the next series of material tests, magnitude of the change in temperature of distilled water sample weighing $180 \pm 1 \text{ g}$, heated in a cardboard cup, was determined. Any material test result was taken as true if, during preliminary control heating in the UHF furnace, water sample temperature increased by $38.3\text{--}38.7^\circ\text{C}$ in 60 s, and voltage in power supply of the UHF equipment during material testing was $220 \pm 3 \text{ V}$.

During the experiment, 5 weighed samples of each test granular material were prepared. The weight of test portions was $180\text{--}220 \text{ g}$ due to apparent density of the test material and volume of the working space of the used foam container-thermostat. Measurement of the initial temperature of the material samples was carried out 10–15 min after test material placing in the container thermostat. To measure the temperature with an accuracy of 0.1°C , NiCr–CuNi, a thermocouple with working junction diameter of $0.2\text{--}0.3 \text{ mm}$ was used. After measuring the temperature, the thermocouple was removed from the thermostat container, the working cavity was closed with a foam cover and thermostat container was installed in the rotation center of UHF furnace table.

In all the experiments, the duration of material processing in UHF furnace with frequency of 2.45 GHz at nominal magnetron power of $P_M = 700 \text{ W}$ was 60 s. At the end of the treatment the container was removed from UHF furnace and its contents were mixed by shaking from three to five times with simultaneous rotating on 180°C in a vertical plane. After mixing, NiCr–CuNi thermocouple was put into the working cavity of the container to certain depth and repeated temperature measurement was performed. The number of the same measurement repetitions for one sample was 2.

The following materials were selected for testing in this work:

- as ecologically and sanitary-hygienically safe binding material for disposable mixtures of foundry molds and cores – silicate block (soda), corresponding to GOST 917-41;

- as refractory granular materials for disposable foundry molds and cores – rutile (GOST 22938-78), normal aluminum-oxide (GOST 28818-90), zircon concentrate (GOST

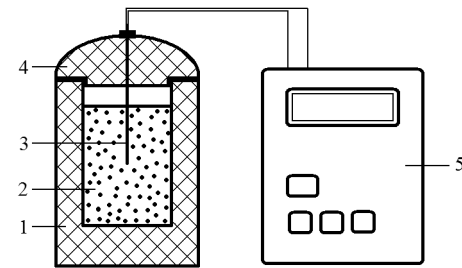


Fig. 1. Scheme of device for determining the temperature change in bulk materials during their heating by UHF radiation:

1 – thermostat container; 2 – testing material; 3 – thermocouple; 4 – foam cover; 5 – measuring device

4882-74), disten-sillimanite concentrate (TU-U 14-10-01-01-98), refractory aggregates (GOST 23037-78), quartz sand (GOST 2138-91), sodium chloride (GOST 13830-97);

- as environmentally and sanitary-hygienically safe binding material for model-flask and core tooling – water-closed β -gypsum (grade G-4) and α -gypsum (grade G-22) that meet GOST 125-79 requirements. In this study, gypsum crumb was used. It was prepared by mechanical grinding to required fraction of water-closed gypsum of specified grades and then dried in air for 15 days at temperature of $32\text{--}35^\circ\text{C}$ and relative air humidity of 42–45 %.

All tested materials had been dried before investigation for 3–5 min in ultrahigh frequency furnace with nominal magnetron power of 700 W and then cooled in air to room temperature. Predominant tested materials grain size was $0.1\text{--}0.2 \text{ mm}$.

Materials selected for testing specification and their elementary chemical compositions are given in Table 1.

Results. The experimental values of the tested material heating rate are given in Table 2.

The calculation of UHF radiation specific power, which has been used for material heating, and material relative dielectric permeability was carried out as follows.

The value of UHF radiation specific power that goes to heat any material has been calculated according to a well-known formula [10], W/cm^3

$$p = 55.63 \cdot 10^{-12} \cdot \varepsilon \cdot \varepsilon_0 \cdot E^2 \cdot f, \quad (1)$$

where ε is relative dielectric permeability of heated material; ε_0 is electric constant ($8.854 \cdot 10^{-12} \text{ F/m}$); E is the electromagnetic field vector, V/m ; f is electromagnetic field frequency, Hz .

Duration of material heating from its initial t_1 temperature to temperature t_2 was calculated by formula, with

Table 1

Granulated materials and their elementary chemical compositions

Material	Elementary chemical compositions, (% weight)
Silicate-block (soda)	Na_2O 25.4 %; SiO_2 73.8 %; $\text{Al}_2\text{O}_3 + \text{Fe}_2\text{O}_3$ 0.47 %; rest – 0.33 %
Rutile	97 % TiO_2 ; 1.7 % Fe_2O_3 ; 0.5 % Al_2O_3 ; 0.4 % SiO_2 ; 0.2 % ZrO_2 ; rest – 0.2 %
Normal aluminum oxide	95 % Al_2O_3 ; 0.5 % Fe_2O_3 ; 1.8 % TiO_2 ; 0.6 % CaO ; rest – 2.1 %
Zircon concentrate (zirconsand)	65 % ZrO_2 ; 32.5 % SiO_2 ; 2 % Al_2O_3 ; 0.4 % TiO_2 ; 0.1 % Fe_2O_3
Disten-sillimanite concentrate	57.8 % Al_2O_3 ; 39 % SiO_2 ; 1.8 % TiO_2 ; 0.8 % ZrO_2 ; 0.8 % Fe_2O_3 ; 0.2 % MgO ; 0.1 % CaO ; 0.1 % $\text{Na}_2\text{O} + \text{K}_2\text{O}$; rest – 0.2 %
Refractory aggregates	28 % Al_2O_3 ; 64.5 % SiO_2 ; 6.1 % Fe_2O_3 ; rest – 1.4 %
Quartz sand	99.7 % SiO_2 ; 0.07 % Al_2O_3 ; 0.03 % Fe_2O_3 ; 0.29 % ($\text{Na}_2\text{O} + \text{K}_2\text{O} + \text{CaO} + \text{MgO}$); rest – 0.09 %
Sodium chloride	NaCl 98.2 %; H_2O 0.25 %; rest – 1.55 %
β -gypsum (grade G4), α -gypsum (grade G22)	CaSO_4 98 %; rest – 2 %

Table 2

Heating rate of granulated materials by UHF radiation

Material	Chemical formula (basic substance specific density, kg/m ³)	w, °C/min
Silicate-block (soda)	nNa ₂ O · mSiO ₂ (2440)	122.0 ± 8
Rutile	TiO ₂ (4290)	38.6 ± 1.4
Normal aluminum oxide	α-Al ₂ O ₃ (3970)	48.0 ± 1.0
Zircon concentrate	ZrSiO ₄ (4670)	22.6 ± 1.2
Disten-sillimanite concentrate	nAl ₂ O ₃ · mSiO ₂ (3520)	20.4 ± 0.8
Refractory aggregates	nAl ₂ O ₃ · mSiO ₂ (3000)	25.4 ± 2.1
Quartz sand	SiO ₂ (2650)	28.0 ± 1.5
Sodium chloride	NaCl (2164)	26.4 ± 1.3
β-gypsum (grade G4, closed)	CaSO ₄ (2320)	22.6 ± 0.9
α-gypsum (grade G22, closed)	CaSO ₄ (2320)	12.0 ± 0.3

$$\tau_A = \frac{c \cdot m \cdot (t_2 - t_1)}{p} = \frac{c \cdot m \cdot \Delta t}{p}, \quad (2)$$

where c is specific heat capacity of the tested (heated) material, J/(kg · °C); m is the tested (heated) material's sample mass, kg.

Insofar as

$$p = Z_h \cdot P_M,$$

where Z_h is the coefficient taking into account magnetron's specific power decrease at the i^{th} point of UHF furnace working space.

Then, from formula (2), it could be found that the rate of temperature rise for the heated material is, °C/s

$$w = \frac{\Delta t}{\tau} = \frac{Z_h \cdot P_M}{c \cdot m}. \quad (3)$$

At the same time, solving (2), with respect to p , we get

$$p = \frac{c \cdot m \cdot \Delta t}{\tau}. \quad (4)$$

To carry out calculations, formula (1) could be written in form

$$\varepsilon = \Delta \cdot p, \quad (5)$$

where Δ is the constant value for accepted experiment conditions, cm³/W.

Using the data from Table 2, according to formulas (3) and (5), taking $\Delta = 0.07 \text{ cm}^3/\text{W}$, values of p and ε for the studied

materials could be calculated. Calculating results of the average values of ε for the studied materials, as well as the data of [11, 12] are given in Table 3.

The analysis of the data in Tables 1–3 shows that among studied materials, quartz sand has the best complex of properties, including environmentally and sanitary-hygienically safety, specific density, dielectric permeability value, cost and deficit, for foundry molds and cores production using UHF heating. At the same time, it is appropriate to use α-gypsum for model equipment and core boxes manufacturing. This choice is due to the fact that among refractory and binder materials quartz sand and α-gypsum are characterized by one of the lowest heating rates when exposed to UHF radiation with described above parameters.

In terms of dielectric permeability, except for silicate block, the studied materials can be assigned to the group of dielectrics with low dielectric permeability ($\varepsilon < 10$). Moreover, there is direct proportional relationship between dielectric permeability and heating rate of this group of dielectric materials at $\Delta = 0.07 \text{ cm}^3/\text{W}$, as evidenced by dependence plot in Fig. 2.

Apart from the main substance, the investigated granular materials also contain substances-impurities in their composition that affect the value of their dielectric permeability. Based on the nature of tested materials occurrence, it can be stated that they are not mechanical mixtures of the main substance and substances-impurities, but alloys of these materials. Consequently, substances-impurities change not only physicochemical parameters of the main substance, but also its structure, dielectric permeability and a number of other properties and parameters.

By analogy with mechanical mixtures of dielectrics, the present work assumes existence of additive-mass influence of elemental composition of substances-impurities alloys on the dielectric permeability of the main substance. Based on this suggestion, to estimate the influence of basic substance and substances-impurities on relative dielectric permeability of the studied dielectrics with low dielectric permeability, using Table 1 and Table 3 data, the following system of equations could be written

$$\begin{aligned} 97 \cdot \text{TiO}_2 + 1.7 \cdot \text{Fe}_2\text{O}_3 + 0.5 \cdot \text{Al}_2\text{O}_3 + 0.4 \cdot \text{SiO}_2 + 0.2 \cdot \text{ZrO}_2 &= 6.9 \\ 95 \cdot \text{Al}_2\text{O}_3 + 0.5 \cdot \text{Fe}_2\text{O}_3 + 1.8 \cdot \text{TiO}_2 + 0.6 \cdot \text{CaO} &= 7.6 \\ 65 \cdot \text{ZrO}_2 + 32.5 \cdot \text{SiO}_2 + 2 \cdot \text{Al}_2\text{O}_3 + 0.4 \cdot \text{TiO}_2 + 0.1 \cdot \text{Fe}_2\text{O}_3 &= 3.2 \\ 57.8 \cdot \text{Al}_2\text{O}_3 + 39 \cdot \text{SiO}_2 + 1.8 \cdot \text{TiO}_2 + 0.8 \cdot \text{ZrO}_2 + 0.8 \cdot \text{Fe}_2\text{O}_3 + \\ + 0.4 \cdot (\text{Na}_2\text{O} + \text{K}_2\text{O} + \text{MgO} + \text{CaO}) &= 4.3 \\ 28 \cdot \text{Al}_2\text{O}_3 + 64.1 \cdot \text{SiO}_2 + 6.1 \cdot \text{Fe}_2\text{O}_3 &= 4.9 \\ 99.7 \cdot \text{SiO}_2 + 0.07 \cdot \text{Al}_2\text{O}_3 + 0.0 \cdot \text{Fe}_2\text{O}_3 + \\ + 0.29 \cdot (\text{Na}_2\text{O} + \text{K}_2\text{O} + \text{CaO} + \text{MgO}) &= 4.6 \end{aligned}$$

Table 3

Calculating results of p and ε for average parameter values of the studied materials heated in UHF furnaces with 2.45 GHz frequency and nominal magnetron power of 700 W during 60 s

Material	$c, \text{J}/(\text{kg} \cdot \text{°C})$	$\Delta t, \text{°C}$	m, g	$p, \text{W}/\text{cm}^3$	ε	
					calcul. results	[11, 12]
Silicate-block (soda)	837	122.0	144	245	17.2	
Rutile	690	38.6	222	99	6.9	10.6–175
Normal aluminum oxide	800	48.0	170	109	7.6	80
Zircon concentrate (zircon sand)	550	22.6	218	45	3.2	3.6–5.2
Disten-sillimanite concentrate	900	20.4	200	61	4.3	
Refractory aggregates	825	25.4	200	70	4.9	
Quartz sand	740	28.0	191	66	4.6	2.0–6.0
Sodium chloride	920	26.4	187	76	5.3	
β-gypsum (grade G4, closed)	880	22.6	195	65	4.5	
α-gypsum (grade G22, closed)	880	12.0	195	34	2.4	

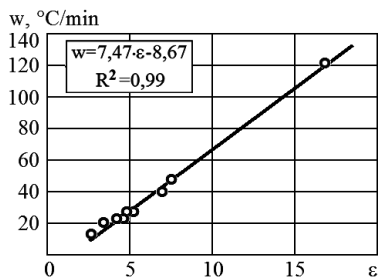


Fig. 2. Dependence $w=f(\varepsilon)$

Denoting the total mass content of Na_2O , K_2O , CaO and MgO in the analyzed materials as component f and renaming it to x_1 , SiO_2 to x_2 , Al_2O_3 to x_3 , Fe_2O_3 to x_4 , TiO_2 to x_5 , ZrO_2 to x_6 , it is possible to arrive at linear equations system of the following form

$$\left. \begin{array}{l} 0.4 \cdot x_2 + 0.5 \cdot x_3 + 1.7 \cdot x_4 + 97 \cdot x_5 + 0.2 \cdot x_6 = 6.9 \\ 0.6 \cdot x_1 + 95 \cdot x_3 + 0.5 \cdot x_4 + 1.8 \cdot x_5 = 7.6 \\ 32.5 \cdot x_2 + 2 \cdot x_3 + 0.1 \cdot x_4 + 0.4 \cdot x_5 + 65 \cdot x_6 = 3.2 \\ 39 \cdot x_2 + 57.8 \cdot x_3 + 0.4 \cdot x_4 + 1.8 \cdot x_5 + 0.8 \cdot x_6 = 4.3 \\ 64.1 \cdot x_2 + 28 \cdot x_3 + 6.1 \cdot x_4 = 4.9 \\ 0.29 \cdot x_1 + 99.7 \cdot x_2 + 0.07 \cdot x_3 + 0.03 \cdot x_4 = 4.6 \end{array} \right\}. \quad (6)$$

Solving equations system (6) by Gauss method, for granular inorganic materials of natural and artificial origins, containing (in weight) SiO_2 in the range from 0 to 99.7 %, Al_2O_3 from 0.07 to 95.0 %, ZrO_2 from 0 to 65 %, TiO_2 from 0 to 97 %, Fe_2O_3 from 0.03 to 6.1 % and total content of $\text{Na}_2\text{O} + \text{K}_2\text{O} + \text{CaO} + \text{MgO}$ from 0 to 0.6 %, the following equation could be obtained

$$\begin{aligned} \varepsilon = & 0.0307 \cdot \text{ZrO}_2 + 0.0326 \cdot \text{SiO}_2 + 0.0483 \cdot \text{Al}_2\text{O}_3 + \\ & + 0.0665 \cdot \text{TiO}_2 + 0.2394 \cdot \text{Fe}_2\text{O}_3 + 4.6262 \cdot (\text{Na}_2\text{O} + \\ & + \text{K}_2\text{O} + \text{CaO} + \text{MgO}), \end{aligned} \quad (7)$$

where ZrO_2 , SiO_2 , Al_2O_3 and other substances are indicated in weight %.

The obtained result indicates that the relative dielectric permeability of the studied inorganic materials does not depend on their structure and, with accuracy acceptable for engineering calculations, can be determined by additive rule, based on elementary substance mass contents in their composition, by the formula (7). In addition, based on the fact that $\varepsilon = 1.0001959$ for air, it is permissible for engineering calculations to use simplified formula of dependence $w=f(\varepsilon)$, which has the form

$$W = 7.47 \cdot (\varepsilon - 1). \quad (8)$$

It follows from formula (8) that rate of temperature rise of material heated in a UHF radiation field is directly proportional to its relative permeability and depends only on its chemical composition.

Conclusions. It has been established that between the value of dielectric permeability and the heating rate of inorganic solid granular materials-insulators of industrial purity with predominant grain size of 0.1–0.2 mm, heated by UHF radiation with 2.45 GHz frequency, direct proportional relationship takes place. For dielectrics with low dielectric permeability ($\varepsilon < 17$), its value depends exclusively on their chemical composition and can be calculated according to additive rule of substances included in dielectric mass elemental composition. It was found that the heating rate of the studied material changes in the range from 12 °C/min (for closed gypsum, grade G22) to 122 °C/min (for silicate block). Among the studied materials for model-core equipment production, processed by UHF radiation in foundries, G22 gypsum can be recommended, for disposable foundry molds and cores manu-

faturing – zircon sand, distene-sillimanite, refractory aggregates or quartz. In this case, in terms of sanitary-hygienically safety, specific density, dielectric permeability, cost and deficit for foundry molds and cores production, preference should be given to quartz sand.

References.

1. Gaponenkov, I. A., & Fedorova, O. A. (2018). Spheres of use of the electromagnetic field of the microwave range in the modern world. *Problemy regional'noy ekologii*, 1, 120-126. ISSN 1728-323X.
2. Molodtsova, M. A., & Sevastianova, Yu. V. (2017). Opportunities and prospects for the use of microwave radiation in industry (review). *Lesnoy zhurnal*, 2, 173-187. <https://doi.org/10.17238/>.
3. Gyulmaliyev, E. A., Tretiakov, V. F., & Talyshinskiy, R. M. (2016). Chemical aspects of the development of microwave technology I. Opportunities and prospects for the use of microwave radiation. *Istoriya i pedagogika yestestvoznaniya*, (2), 59-68. ISSN 2226-2296.
4. Korolev, A. A., Tyurina, S. B., & Trishkaneva, M. V. (2019). Analysis of the use of microwave radiation in sterilization technologies for plant materials. *Nauchnyy zhurnal NIU ITMO. Seriya "Protsessy i apparaty pishchevykh proizvodstv"*, 3, 81-91. <https://doi.org/10.17586/2310-1164-2019-12-3-81-91>.
5. Ivanova, A. P., Barsukova, S. A., Khalimendik, A. V., & Chumak, A. N. (2019). Analysis and prospects of research on the influence of microwave radiation on mortars and concrete. *Nauka i progress transporta. Vestnik Dnepropetrovskogo natsional'nogo universiteta zheleznodorozhного transporta imeni akademika V. Lazaryana*, 3, 121-129. ISSN 2307-3489.
6. Repyakh, S. I., & Andreyeva, A. V. (2015). Evaluation of the uniformity of heating graphite-containing molding sand and bodies with microwave radiation. *Metallurgicheskaya i gornorudnaya promyshlennost*, (2), 29-32. ISSN 2076-0507.
7. Korbanov, V. D., & Valter, A. I. (2018). Production of model equipment in foundry using additive technologies. *Izvestiya Tul'skogo gosudarstvennogo universiteta. Tekhnicheskiye nauki*, 10, 334-338. ISSN 2071-6168.
8. Saranin, L. G. (2018). Comparative evaluation of wood materials in the manufacture of foundry equipment. *Izvestiya Tul'skogo gosudarstvennogo universiteta. Tekhnicheskiye nauki*, 1, 16-20. ISSN 2071-6168.
9. Solonenko, L., Repyakh, S., Prokopovich, I., Sukhoi, K., & Dmytrenko, D. (2019). System analysis of modern areas of increasing environmental and sanitary hygienic safety of using cold hardening mixtures in foundry. *Pratsi Odeskoho Politekhnichnogo Universytetu*, (1), 90-98. ISSN 2076-2429.
10. Komarenko, V. V., Nikichenkov, A. N., & Molokov, V. Yu. (2017). On the use of a microwave oven for determining soil moisture. *Izvestiya Tomskogo politekhnicheskogo universiteta. Inzhiniring georesursov*, 11, 60-74. ISSN 2413-1830 (Scopus).
11. Pervunina, A. A. (2012). On the material composition of titanium zirconium placers of the Malyshevskyi deposit. *Zbachannia korysnykh kopalyn: Naukovo-tehnichnyi Zbirnyk*, 50(91), 52-55. ISSN 0135-2326.
12. Schoenfeld, C., Favretto, L., & Loechner, M. (2003). Microwave Synthesis Comes to the Academic Laboratory. *American Laboratory*, November.

Швидкість нагріву зернистих неорганічних матеріалів надвисокочастотним випромінюванням

L. I. Солоненко¹, О. П. Білій², С. І. Pen'як²,
T. В. Кімстач², К. І. Узлов²

1 – Одеський національний політехнічний університет, м. Одеса, Україна

2 – Національна металургійна академія України, м. Дніпро, Україна, e-mail: 123rs@ua.fm

Мета. Визначення швидкості нагріву зернистих матеріалів неорганічного походження, що використовуються для виготовлення ливарних форм і стрижнів, у полі надвисокочастотного випромінювання, залежності швидкості нагріву матеріалів від величини їх відносної діелектричної проникності, встановлення впливу хімічного складу та структури неорганічних матеріалів на величину їх відносної діелектричної проникності.

Методика. Дослідження проводили на наважках випробуваних матеріалів масою 200 г, що нагрівали надвисокочастотним випромінюванням із частотою 2,45 ГГц за номінальної потужності магнетрона 700 Вт. У числі випробуваних матеріалів: силікат-бріла (содова), рутил, електрокорунд нормальний, концентрат цирконовий, концентрат дистен-силіманітовий, шамот, пісок кварцовий, натрій хлористий, β -гіпс (Γ_4 , затворений), α -гіпс (Γ_{22} , затворений).

Результати. За результатами зміни початкової температури наважок розрахували швидкість нагріву зернистих матеріалів неорганічного походження, величини їх відносної діелектричної проникності (ε). Встановлено, що швидкість нагріву досліджених матеріалів промислової чистоти знаходиться в межах від 12 (для затвореного гіпсу марки Γ_{22}) до 122 °C/хв (для силікат-бріли).

Наукова новизна. Уперше визначені величини діелектричної проникності твердих зернистих матеріалів-діелектриків промислової чистоти з величиною $\varepsilon \leq 17$. Встановлено, що швидкість їх нагріву прямо пропорційна величині ε . При цьому, величина діелектричної проникності цих матеріалів залежить виключно від їх хімічного складу й може бути розрахована за правилом адитивності елементарних хімічних компонентів, що входять до їх складу.

Практична значимість. На основі отриманих даних рекомендовані матеріали, що придатні для виготовлення ливарного модельно-стрижневого оснащення, а також ливарних формувальних і стрижневих сумішей, які працюють, що сушать або структурують під дією надвисокочастотного випромінювання. Використання таких матеріалів дозволить знизити енергоємність виробництва литих деталей і підвищити його екологічну безпеку.

Ключові слова: діелектрична проникність, надвисокочастотне випромінювання, зернистий матеріал, швидкість нагріву, ливарна форма, стрижень

Скорость нагрева зернистых неорганических материалов сверхвысокочастотным излучением

Л. И. Солоненко¹, А. П. Белый², С. И. Ренях²,
Т. В. Кимстач², К. И. Узлов²

1 – Одесский национальный политехнический университет, г. Одесса, Украина

2 – Национальная металлургическая академия Украины, г. Днепр, Украина, e-mail: 123rs@ua.fm

Цель. Определение скорости нагрева зернистых материалов неорганического происхождения, используемых для изготовления литьевых форм и стержней, в поле сверхвысокочастотного излучения, зависимости скорости нагрева материалов от величины их относительной диэлектрической проницаемости, установление влияния химического состава и структуры нерганических материалов на величину их относительной диэлектрической проницаемости.

Методика. Исследования проводили на навесках испытуемых материалов массой 200 г, которые нагревали сверхвысокочастотным излучением с частотой 2,45 ГГц при номинальной мощности магнетрона 700 Вт. В числе испытуемых материалов: силикат-глыба (содовая), рутил, электрокорунд нормальный, концентрат цирконовый, концентрат дистен-силлиманитовый, шамот, песок кварцевый, натрий хлористый, β -гипс (Γ_4 , затворенный), α -гипс (Γ_{22} , затворенный).

Результаты. По результатам изменения начальной температуры навесок рассчитали скорость нагрева зернистых материалов неорганического происхождения, величины их относительной диэлектрической проницаемости (ε). Установлено, что скорость нагрева исследованных материалов промышленной чистоты находится в пределах от 12 (для затворенного гипса марки Γ_{22}) до 122 °C/мин (для силикат-глыбы).

Научная новизна. Впервые определены величины диэлектрической проницаемости твёрдых зернистых материалов-диэлектриков промышленной чистоты с величиной $\varepsilon \leq 17$. Установлено, что скорость их нагрева прямо пропорциональна величине ε . При этом, величина диэлектрической проницаемости этих материалов зависит исключительно от их химического состава и может быть рассчитана по правилу аддитивности входящих в их состав элементарных химических компонентов.

Практическая значимость. На основе полученных данных рекомендованы материалы, пригодные для изготовления литьевой модельно-стержневой оснастки, а также литьевых формовочных и стержневых смесей, работающих, высушиваемых и структурируемых в поле сверхвысокочастотного излучения. Использование таких материалов позволит снизить энергоёмкость производства литых деталей и повысить его экологическую безопасность.

Ключевые слова: диэлектрическая проницаемость, сверхвысокочастотное излучение, зернистый материал, скорость нагрева, литьевая форма, стержень

Recommended for publication by V.T. Kalinin, Doctor of Technical Sciences. The manuscript was submitted 03.05.19.